

# Преобразование Рытова в задаче о самофокусировке светового пучка

В. П. Кандидов<sup>1)</sup>, А. Е. Дормидонов, С. А. Шленов

Московский государственный университет им. М.В. Ломоносова, физический факультет,

и Международный учебно-научный лазерный центр, 119992 Москва, Россия

Поступила в редакцию 12 ноября 2007 г.

Предложен метод комплексной фазы огибающей светового поля для задачи о самофокусировке пучка в среде с кубической нелинейностью. Комплексная фаза введена с помощью преобразования С.М. Рытова, краевые условия получены в предположении, что на периферии пучка световые поля при самофокусировке и линейной дифракции совпадают. Переход от медленно меняющейся амплитуды к ее комплексной фазе позволяет существенно расширить диапазон изменения амплитуды и интенсивности в световом пучке при теоретических исследованиях. Применимость метода комплексной фазы проиллюстрирована на конкретных примерах.

PACS: 42.65.–k

Явлению самофокусировки световых пучков, предсказанному в [1] и зарегистрированному в [2], посвящено немало теоретических исследований. Стационарное решение нелинейного уравнения квазиоптики относительно комплексной амплитуды светового поля в условиях самоканалирования пучка, так называемая мода Таунса, получено в [3]. В приближении заданной интенсивности определены критическая мощность и расстояние самофокусировки светового пучка [4, 5]. Перераспределение плотности мощности в сечении пучка при распространении в среде с кубической нелинейностью изучено аналитически в [6]. Существование различных режимов распространения световых пучков в нелинейных средах определено в [7] на основе анализа интегралов движения задачи. Однако возможности аналитического исследования нелинейного уравнения квазиоптики, описывающего самофокусировку светового пучка, невелики и ограничиваются, как правило, автомодельными решениями. Для получения этих решений развито параболическое приближение [8], справедливое в приосевой области, использован метод функций Вигнера [9], применен вариационный подход [10], основывающийся на минимизации гамильтониана системы в пространстве гауссовых функций для профиля пучка. Метод моментов в [11] позволяет исследовать интегральные характеристики светового пучка в условиях самовоздействия в нелинейных средах.

Наряду с аналитическими интенсивно развивались численные методы для исследования самофокусировки световых пучков. В [12] на основе результатов численных экспериментов дана интерпретация многофокусной структуры, возникающей в пучках, мощность которых многократно превышает критическую величину. Для численного исследования самофокусировки световых пучков разработаны различные методы [13]. Гидродинамическое описание задачи самофокусировки, при котором осуществляется переход к координатам, связанным с лучевыми трубками пучка, предложено и реализовано для осесимметричного случая в [14].

Несмотря на большое разнообразие численных схем, компьютерный эксперимент, даже с использованием современных вычислительных кластеров, не может воспроизвести динамический диапазон изменения интенсивности светового поля при самофокусировке пучков в реальных условиях. Так, при филаментации фемтосекундного лазерного импульса интенсивность светового поля вследствие керровской самофокусировки возрастает на три-четыре порядка, например, в воздухе от  $10^{10}$  до  $10^{14}$  Вт/см<sup>2</sup> [15]. Импульсы тераваттной мощности вследствие пространственной неустойчивости интенсивного светового поля в среде с кубической нелинейностью [16] распадаются на хаотическое множество филаментов, которые, взаимодействуя друг с другом, исчезают и зарождаются вновь в процессе распространения [17]. Явление филаментации фемтосекундных лазерных импульсов и сопровождающие его эффекты генерации суперконтинуума и образования плазменных каналов

<sup>1)</sup>e-mail: kandidatov@phys.msu.ru

открывают принципиально новые возможности в широкополосном зондировании атмосферы и дистанционной эмиссионной спектроскопии, в управлении высоковольтным разрядом и создании элементов микрооптики [15]. Поэтому развитие методов решения задачи о самофокусировке светового пучка остается важным как для фундаментальных, так и прикладных исследований.

В настоящем сообщении развивается новый подход к теоретическому исследованию самофокусировки световых пучков на основе преобразования Рытова, который впервые ввел комплексную фазу амплитуды светового поля для приближенного анализа задачи о дифракции света на ультразвуковых волнах [18]. В дальнейшем метод возмущений для комплексной фазы, получивший название метода плавных возмущений, стал широко применяться в оптике случайно-неоднородных сред [19]. В развиваемом подходе рассматривается непосредственно уравнение для комплексной фазы огибающей светового пучка, решение которого осуществляется численно. Переход от медленно меняющейся амплитуды к ее комплексной фазе позволяет радикально расширить динамический диапазон изменения амплитуды и интенсивности светового поля в пучке и тем самым снять существующие ограничения в теоретических исследованиях.

Представим медленно меняющуюся амплитуду светового поля  $E(x, y, z)$  в виде

$$E(x, y, z) = Ae^{\Psi(x, y, z)}, \quad (1)$$

где  $A > 0$  – вещественный размерный множитель,  $\Psi(x, y, z) = \text{Re } \Psi + i \text{Im } \Psi$  – комплексная фаза. Тогда как обычно,  $E(x, y, z)$  выражается следующим образом:

$$E(x, y, z) = |E(x, y, z)|e^{iS(x, y, z)}, \quad (2)$$

где фаза  $S(x, y, z)$  с точностью до множителя, волнового числа  $k$ , равна эйконалу амплитуды  $E(x, y, z)$ . Из сравнения (1) и (2) следует, что мнимая часть комплексной фазы  $\text{Im } \Psi$  совпадает с фазой  $S(x, y, z)$ :

$$\text{Im } \Psi(x, y, z) = S(x, y, z). \quad (3)$$

Реальная часть  $\text{Re } \Psi$  комплексной фазы  $\Psi(x, y, z)$ , называемая уровнем амплитуды  $\chi(x, y, z)$ , связана с действительной амплитудой светового поля  $|E(x, y, z)|$  простыми соотношениями:

$$\begin{aligned} \chi(x, y, z) &\equiv \text{Re } \Psi(x, y, z), \\ |E(x, y, z)| &= Ae^{\chi(x, y, z)}. \end{aligned} \quad (4)$$

Интенсивность светового поля

$$I(x, y, z) = \frac{cn_0}{8\pi}|E|^2$$

выражается через уровень  $\chi(x, y, z)$  следующим образом:

$$I(x, y, z) = A^2 \frac{cn_0}{8\pi} e^{2\chi(x, y, z)}. \quad (5)$$

Преобразование, обратное (1), (4), имеет вид

$$\begin{aligned} \Psi(x, y, z) &= \ln \frac{E(x, y, z)}{A}, \\ \chi(x, y, z) &= \ln \frac{|E(x, y, z)|}{A}. \end{aligned} \quad (6)$$

При самофокусировке пучка относительное увеличение действительной амплитуды светового поля  $|E|/E_0$  составляет несколько порядков, где  $E_0$  – начальная величина пиковой амплитуды. Вместе с тем, приращение уровня амплитуды  $\chi - \chi_0$  в соответствии с логарифмической зависимостью (6) не превосходит одного порядка:

$$\begin{aligned} \chi(x, y, z) - \chi_0(x, y) &= \ln \frac{|E(x, y, z)|}{|E(x, y, z=0)|}, \\ \chi_0(x, y) &\equiv \chi(x, y, z=0). \end{aligned} \quad (7)$$

Например, в процессе формирования филамента в фемтосекундном лазерном импульсе, действительная амплитуда светового поля  $|E(x, y, z)|$  возрастает на два порядка, интенсивность  $|I(x, y, z)|$  – на четыре, тогда как приращение уровня  $\chi - \chi_0$  составляет не более пяти единиц.

Стационарная самофокусировка светового пучка в среде с кубичной нелинейностью описывается следующим уравнением относительно медленно меняющейся амплитуды  $E(x, y, z)$ :

$$2i \frac{\partial E}{\partial z} = \Delta_{\perp} E + R|E|^2 E, \quad (8)$$

где  $\Delta_{\perp}$  – оператор Лапласа по поперечным координатам. В уравнении (8) огибающая светового поля  $E(x, y, z)$  нормирована на  $E_0$ , поперечные координаты  $x, y$  – на радиус пучка  $a_0$ , продольная координата  $z$  – на дифракционную длину  $L_d = ka_0^2$ . Параметр нелинейности  $R$  равен:

$$R = \frac{2kn_2}{n_0}|E_0|^2 L_d, \quad (9)$$

где  $n_2$  – коэффициент кубичной нелинейности, определяющий нелинейно-оптическое приращение показателя преломления  $\Delta n = n_2|E|^2$ . Подставляя (1) в (8),

получаем следующее уравнение относительно комплексной фазы  $\Psi(x, y, z)$ :

$$2i \frac{\partial \Psi}{\partial z} = \Delta_{\perp} \Psi + (\nabla \Psi)^2 + R e^{2\chi}. \quad (10)$$

В уравнении (8) огибающая  $E(x, y, z)$  является комплексной функцией; ее реальная,  $\text{Re } E = |E| \cos S$ , и мнимая,  $\text{Im } E = |E| \sin S$ , части осциллируют в плоскости поперечного сечения пучка и в направлении его распространения, при этом, особенно быстро, в окрестности нелинейного фокуса. Воспроизведение быстро осциллирующих функций  $\text{Re } E(x, y, z)$  и  $\text{Im } E(x, y, z)$  является основной проблемой при решении уравнения (8). Тогда как реальная,  $\text{Re } \Psi(x, y, z)$ , и мнимая,  $\text{Im } \Psi(x, y, z)$ , части комплексной фазы медленно меняются при формировании нелинейного фокуса, и их вычисление при решении уравнения (10) не вызывает трудностей.

Краевые условия в задаче о самофокусировке ограниченного пучка в свободном пространстве следуют из физической картины формирования нелинейного фокуса. В идеальной постановке нелинейный фокус унимодального осесимметричного светового пучка образуется на его оси. В реальных условиях, когда существуют возмущения амплитуды и фазы на профиле пучка или пространственные флуктуации оптических свойств среды, возможно образование нескольких нелинейных фокусов в плоскости его поперечного сечения. При этом фокусы образуются в приосевой области с высокой плотностью мощности. Аберрационные возмущения светового поля, вызванные формированием нелинейных фокусов и их взаимодействием между собой, охватывают ограниченную область в поперечном сечении пучка. На периферии пучка, где интенсивность мала и доминирует дифракционная расходимость, можно считать световое поле таким же, как в линейной среде. Из этого приближения, в частности, следует, что на границе  $\Gamma$  конечной области  $D$  огибающая  $E(x, y, z)$  ограниченного пучка равна нулю, если размер области  $D$  значительно превышает его радиус  $a_0$ .

Для уравнения (10) краевое условие для комплексной фазы является нестационарным, поскольку фаза  $\Psi(x, y, z)$  на границе  $\Gamma$  зависит от  $z$  – эволюционной переменной задачи. Получим краевое условие для  $\Psi(x, y, z)$  из асимптотического продолжения светового поля на границе  $\Gamma$ , положив, что вне области  $D$  световое поле при самофокусировке пучка совпадает с полем в линейной среде. Отсюда, фаза  $\Psi(x, y, z)$  на границе  $\Gamma$  равна комплексной фазе светового пучка при линейной дифракции  $\Psi_d(x, y, z)$ :

$$\Psi(x|_{\Gamma}, y|_{\Gamma}, z) = \Psi_d(x|_{\Gamma}, y|_{\Gamma}, z). \quad (11)$$

Фаза  $\Psi_d(x, y, z)$  рассматриваемого пучка может быть получена аналитически или численно. Например, для коллимированного гауссового пучка при дифракции в линейной среде известно аналитическое выражение для огибающей  $E(x, y, z)$  [20] и, следовательно, для комплексной фазы  $\Psi_d(x, y, z)$ :

$$\Psi_d(x, y, z) = -\frac{1}{2} \ln(1 + z^2) - \frac{x^2 + y^2}{2(1 + z^2)}(1 + iz) + i \arctg z. \quad (12)$$

Это позволяет записать в явном виде краевое условие (11) для комплексной фазы  $\Psi(x|_{\Gamma}, y|_{\Gamma}, z)$ . Аналогично можно сформулировать краевые условия для комплексной фазы  $\Psi(x, y, z)$  сфокусированного пучка, либо перейти, если необходимо, к условиям второго или третьего рода на границе  $\Gamma$  рассматриваемой области.

При самофокусировке пучка сохраняются его мощность  $P$  и гамильтониан  $H$  [7, 20]. Через уровень амплитуды  $\chi(x, y, z)$  и комплексную фазу  $\Psi(x, y, z)$  интегралы движения задачи записываются следующим образом:

$$P = \int_{-\infty}^{\infty} e^{2\chi} dx dy, \quad (13)$$

$$H = \int_{-\infty}^{\infty} e^{2\chi} (|\nabla_{\perp} \Psi|^2 - R e^{2\chi}) dx dy.$$

Таким образом, развиваемый метод комплексной фазы состоит в преобразовании Рытова, с помощью которого осуществляется переход от огибающей светового поля  $E(x, y, z)$  к ее комплексной фазе  $\Psi(x, y, z)$ , и в формулировке краевых условий из асимптотического продолжения светового поля на границе рассматриваемой области в приближении линейной дифракции. В методе комплексной фазы нелинейное уравнение (10) с краевыми условиями (11) и заданным начальным распределением  $\Psi(x, y, z = 0)$  решается численно с помощью стандартных алгоритмов для уравнений в частных производных.

Для иллюстрации метода комплексной фазы в задачах самофокусировки рассмотрим коллимированный пучок гауссового профиля. В этом случае огибающая светового поля в пучке задается в виде

$$E(x, y, z = 0) = E_0 \exp \left\{ -\frac{x^2 + y^2}{2a_0^2} \right\}. \quad (14)$$

Начальное распределение комплексной фазы  $\Psi_0(x, y) = \Psi(x, y, z = 0)$  является действительным и в безразмерных переменных при множителе  $A = E_0$  записывается следующим образом:

$$\Psi_0(x, y) = -(x^2 + y^2)/2. \quad (15)$$

Начальный уровень амплитуды  $\chi_0(x, y)$  совпадает с  $\Psi_0(x, y)$ , начальная фаза  $S_0(x, y)$  равна нулю. Параметр нелинейности  $R = 37.7$ , что соответствует мощности пучка  $P$ , в десять раз превышающей критическую мощность самофокусировки  $P_{cr}$ . На рис.1а представлены профили фазы  $S(x, y = 0, z)$  и уров-

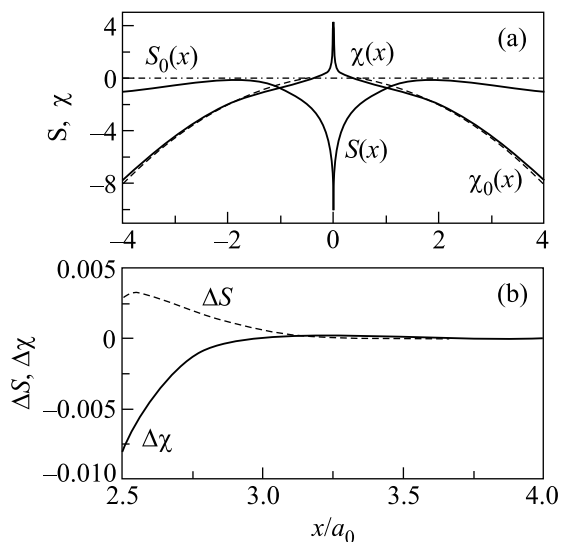


Рис.1. Самофокусировка коллимированного гауссового пучка мощностью  $P = 10P_{cr}$ . (а) Профили фазы  $S$  и уровня амплитуды  $\chi$ :  $S(x, y = 0, z^*)$  и  $\chi(x, y = 0, z^*)$  на расстоянии  $z^* = 0.156L_d$ , близком к расстоянию самофокусировки, – сплошные линии; начальные  $S_0(x, y = 0)$  и  $\chi_0(x, y = 0)$  при  $z = 0$  – пунктирные линии; (б) Отклонения фазы  $\Delta S(x, y, z^*)$  (пунктирная линия) и уровня  $\Delta\chi(x, y, z^*)$  (сплошная кривая) в условиях самофокусировки пучка от фазы  $S_d(x, y = 0, z^*)$  и уровня  $\chi_d(x, y = 0, z^*)$  при его линейной дифракции на том же расстоянии  $z^*$  в окрестности границы  $\Gamma$

ня амплитуды  $\chi(x, y = 0, z)$  в зависимости от поперечной координаты  $x$  и при  $y = 0$  в плоскости  $z^* \leq z_{sf}$ , где  $z_{sf}$  – расстояние самофокусировки. Величина  $z_{sf}$ , рассчитанная по [21], составляет  $z_{sf} = 0.161L_d$ . Расстояние до рассматриваемой плоскости равно  $z^* = 0.156L_d$ . Там же приведены начальные профили фазы  $S_0(x, y = 0)$  и уровня  $\chi_0(x, y = 0)$ . Видно, что первоначально плоская фаза  $S_0(x)$  превращается на расстоянии  $z^*$  в функцию с минимумом на оси, отражающим отставание фазы светового поля из-за керровской нелинейности, и с параболической зависимостью на периферии пучка, обусловленной его дифракционной расходимостью. Начальный профиль уровня  $\chi_0(x)$ , согласно (15), является параболическим, и  $\chi_0(x = 0, y = 0) = 0$ . При самофокусировке на профиле  $\chi(x)$  появляется узкий максимум на оси, равный наибольшему приращению уров-

ня, которое составляет около 4.5. Тогда как интенсивность на оси пучка увеличивается более чем на три порядка,  $I(0, 0, z^*)/I_0 \sim 5 \cdot 10^3$ . При этом плавному изменению уровня  $\chi(x)$  в сечении пучка соответствуют большие градиенты на профиле интенсивности  $I(x)$ , который имеет вид узкого пика с шириной, неразрешимой в масштабе рис.1.

В целом изменение фазы  $S(x, y, z^*)$  и уровня  $\chi(x, y, z^*)$  охватывает диапазон от +5 до -10 в рассматриваемой области  $D$  поперечного сечения пучка. Мощность  $P$  при самофокусировке пучка с рассматриваемыми параметрами сохраняется с точностью не хуже 0.3%, относительное изменение гамильтониана  $H$  составляет 4% при увеличении интенсивности в десять раз. Отклонения интегралов движения существенно замедляются с измельчением шага  $\Delta x$ ,  $\Delta y$  расчетной сетки.

Заметим, что увеличение интенсивности более чем на три порядка получено при численном решении уравнения (10) для комплексной фазы  $\Psi(x, y, z)$  на расчетной сетке с шагом  $\Delta x$ ,  $\Delta y = 0.02a_0$  в плоскости поперечного сечения пучка. Тогда как на такой сетке при решении уравнения (8) относительно огибающей  $E(x, y, z)$  после возрастания интенсивности на два порядка развивается вычислительная неустойчивость.

Приведенные результаты получены на квадратной области  $D$  со стороной, равной  $8a_0$ . Для оценки погрешности, которую вносит асимптотическое продолжение комплексной фазы (11), рассмотрим в окрестности границы  $\Gamma$  отклонения уровня  $\Delta\chi(x, y, z)$  и фазы  $\Delta S(x, y, z)$  в условиях самофокусировки пучка от уровня  $\chi_d(x, y, z)$  и фазы  $S_d(x, y, z)$  при его линейной дифракции:

$$\begin{aligned} \Delta\chi(x, y, z) &= \chi(x, y, z) - \chi_d(x, y, z), \\ \Delta S(x, y, z) &= S(x, y, z) - S_d(x, y, z), \end{aligned} \quad (16)$$

где  $\chi_d(x, y, z) = \text{Re } \Psi_d(x, y, z)$ ,  $S_d(x, y, z) = \text{Im } \Psi_d(x, y, z)$  вычисляются из (12). На периферии пучка с приближением к границе  $\Gamma$  отклонения уровня  $\Delta\chi(x, y, z)$  и фазы  $\Delta S(x, y, z)$  быстро убывают (рис.1б). Величина их относительного отклонения не превышает  $10^{-3}\%$  внутри области  $D$  на расстоянии  $0.5a_0$  от границы  $\Gamma$ .

Для анализа применимости метода комплексной фазы в более общем случае рассмотрим пучок с локальным возмущением интенсивности, нарушающим его осевую симметрию. При этом для простоты примем, что на границе области комплексная фаза  $\Psi(x|_{\Gamma}, y|_{\Gamma}, z)$  при самофокусировке совпадает с фазой  $\Psi_d(x|_{\Gamma}, y|_{\Gamma}, z)$  (12) при линейной дифракции осесимметричного пучка. Профиль начального распре-

деления интенсивности  $I(x, y = 0, z = 0)/I_0$  в сечении, проходящем через экстремумы распределения, изображен на рис.2а. Начальная фаза  $S_0$  равна ну-

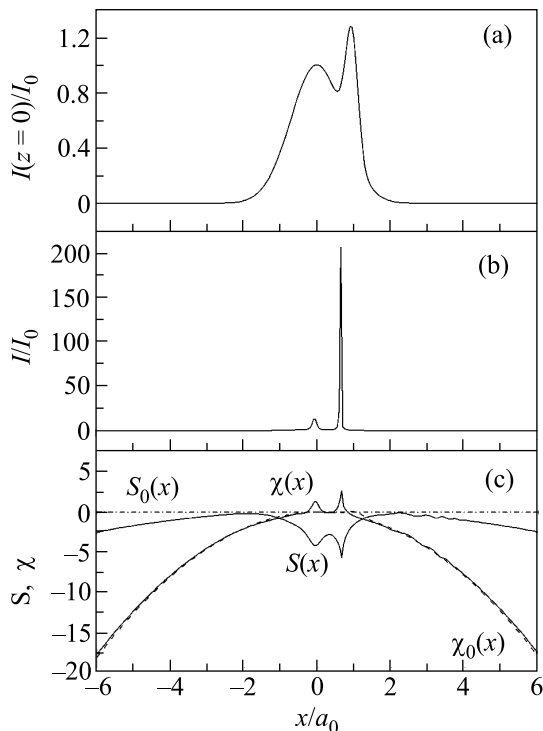


Рис.2. Формирование нелинейных фокусов в пучке с асимметричным распределением интенсивности при мощности  $P = 10.5P_{cr}$ . (а) Профиль начального распределения интенсивности  $I(x, y = 0, z = 0)/I_0$ ; (б) профиль интенсивности  $I(x, y = 0, z')$  на расстоянии  $z'$ , где интенсивность в одном из нелинейных фокусов в 200 раз превышает начальную величину  $I_0$  на оси пучка; (с) профили фазы  $S$  и уровня амплитуды  $\chi$ :  $S(x, y = 0, z')$  и  $\chi(x, y = 0, z')$  на расстоянии  $z'$  – сплошные линии;  $S_0(x, y = 0)$  и  $\chi_0(x, y = 0)$  при  $z = 0$  – пунктирные

лю. Мощность пучка в 10.5 раз превышает критическую мощность самофокусировки, введенную, заметим, для гауссового пучка. В рассматриваемом пучке образуются два нелинейных фокуса. При этом в одном из них интенсивность нарастает быстрее. На некотором расстоянии  $z'$  максимум интенсивности в этом фокусе достигает  $2 \cdot 10^2 I_0$ , тогда как в другом – на порядок меньше (рис.2б). Это различие в величине их интенсивности стремительно нарастает с приближением к коллапсу в одном из фокусов. Формированию нелинейных фокусов в пучке соответствует образование двух экстремумов на профилях фазы  $S(x, y = 0, z')$  и уровня  $\chi(x, y = 0, z')$  (рис.2с). При этом, в отличие от интенсивности, оба экстремума, как на профиле фазы, так и уровня, близки по вели-

чине, что повышает надежность получаемых результатов.

Интерференция возмущений от формирующихся нелинейных фокусов порождает осцилляции уровня и фазы на периферии пучка (рис.2с). Однако с приближением к границе рассматриваемой области осцилляции затухают и доминирует дифракционная расходимость излучения, при которой уровень и фаза имеют параболическую зависимость в плоскости поперечного сечения. Несмотря на существенную асимметрию рассматриваемой задачи, погрешность асимптотического продолжения для комплексной фазы  $\Psi(x, y, z)$ , получаемого из решения линейного уравнения дифракции для осесимметричного гауссового пучка, не превышает  $10^{-3}\%$  для уровня и фазы внутри области  $D$  на расстоянии  $x = 0.5a_0$  от границы  $\Gamma$ .

Метод комплексной фазы, который включает переход от огибающей светового поля  $E(x, y, z)$  к ее комплексной фазе  $\Psi(x, y, z)$  посредством преобразования Рытова и формулировку краевых условий на основе асимптотического продолжения фазы на периферии пучка может быть применен для решения задач взаимодействия лазерного излучения с нелинейными средами.

Работа выполнена при поддержке Российского фонда фундаментальных исследований, грант # 06-02-08004-офи.

1. Г. А. Аскарьян, ЖЭТФ **42**, 1567 (1962).
2. Н. Ф. Пилипецкий, А. Р. Рустамов, Письма в ЖЭТФ **2**, 88 (1965).
3. R. Chiao, E. Garmire, and C. Townes, Phys. Rev. Lett. **13**, 479 (1964).
4. P. L. Kelley, Phys. Rev. Lett. **13**, 1005 (1965).
5. В. И. Таланов, Письма в ЖЭТФ **2**, 218 (1965).
6. В. Н. Луговой, ДАН СССР **176**, 58 (1967).
7. В. Е. Захаров, В. В. Соболев, В. С. Сынах, ЖЭТФ **60**, 136 (1971).
8. С. А. Ахманов, А. П. Сухоруков, Р. В. Хохлов, УФН **93**, 19 (1967).
9. В. В. Коробкин, В. Н. Сазонов, ЖЭТФ **81**, 1195 (1981).
10. В. В. Воробьев, Изв. вузов, радиофизика **13**, 1905 (1970).
11. С. Н. Власов, В. А. Петрищев, В. И. Таланов, Изв. вузов, радиофизика **14**, 1351 (1971).
12. А. Л. Дышко, В. Н. Луговой, А. М. Прохоров, Письма в ЖЭТФ **6**, 636 (1967).
13. Ю. Н. Карамзин, А. П. Сухоруков, В. А. Трофимов, Математическое моделирование в нелинейной оптике, Изд-во МГУ, 1989.

14. Л. М. Дегтярев, В. В. Крылов, ЖВМ и МФ **17**, 1523 (1977).
15. J. Kasparian, M. Rodrigues, G. Mejean et al., Science **301**, 61 (2003).
16. В. И. Беспалов, А. Г. Литвак, В. И. Таланов, Сб. *Нелинейная оптика*, Новосибирск: Наука, 1968, с. 428.
17. S. A. Hosseini, Q. Luo, B. Ferland et al., PRA **70**, 033802 (2004).
18. С. М. Рытов, Изв. АН СССР **2**, 221 (1937).
19. С. М. Рытов, Ю. А. Кравцов, В. И. Татарский, *Введение в статистическую радиофизику*, ч. 2, *Случайные поля*, М.: Наука, 1978.
20. М. Б. Виноградова, О. В. Руденко, А. П. Сухоруков, *Теория волн*, М.: Наука, 1990.
21. J. H. Marburger, Prog. Quant. Electr. (Printed in Great Britain: Pergamon Press) **4**, 35 (1975).